

## Surface waves on metal-dielectric boundaries on the frequency of $\omega_{pl}$

V.S.Zuev and H.Ya.Zueva

The P.N.Lebedev Physical Institute of RAS  
53 Leninsky pr., 119991 Moscow, Russia  
vizuev@sci.lebedev.ru

### Abstract

Surface optical plasmons on metal-dielectric boundaries of various shapes are studied. The study features by the exploration of plasmons of the frequency that is larger than  $\omega_{pl}/\sqrt{2}$  and approximately equal to  $\omega_{pl}$ . These plasmons exist on thin films, thin cylinders, and on spheres. Such a plasmon does not exist on a single surface. For applications the use of plasmons of the  $\sim \omega_{pl}$  frequency means the promotion of nanophotonics devices into a short wavelength range. For Ag this means the promotion to the wavelength of 140 nm.

## Поверхностные волны на границах раздела металл-диэлектрик на частоте $\omega_{pl}$

В.С.Зуев, Г.Я.Зуева

Физический институт им. П.Н.Лебедева РАН  
119991 Ленинский пр-т, 53, Москва, Россия  
vizuev@sci.lebedev.ru

### 1. Плоский слой

Геометрия задачи изображена на рис.1. Пока не будем уточнять, что есть металл, а что – диэлектрик. Будем считать, что  $\epsilon_1 = \epsilon_3$ .

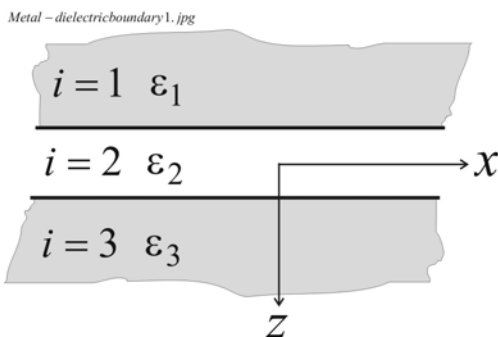


Рис.1.

Речь идет о собственных волнах неоднородного пространства, изображенного на рис.1. Ищем решение в виде поверхности  $TM$  - волны. Конечно, это не единственное возможное решение, но именно оно интересует нас. Поле монохроматическое, зависимость от времени  $e^{-i\omega t}$ . У  $TM$  - волны магнитное поле имеет только поперечную компоненту  $\vec{H} = \vec{a}_y H_y(x, z, t)$ , электрическое поле имеет две компоненты:  $\vec{E} = \vec{a}_x E_x + \vec{a}_z E_z$ . Ищем волну в виде

$$H_y^{(j)}(x, z, t) = H_y^{(j)} e^{-\kappa_z^{(j)} z} e^{i k_x x} e^{-i \omega t}. \quad (1)$$

Плоские волны во всех 3-х средах имеют вид  $H_y^{(j)}(x, z, t) = H_y^{(j)} e^{ik_z^{(j)} z} e^{ik_x x} e^{-i\omega t}$ . Для простоты зависимость от  $y$  не вводим. Все магнитные проницаемости  $\mu_i = 1$ . Для всех сред имеет место соотношение  $k_x^2 + k_z^2 = (\omega/c)^2 \epsilon$ . Это равенство есть дисперсионное уравнение для плоских волн в однородной (в том числе – в некоторой части пространства) среде. У поверхностных волн  $k_z^2 = -\kappa_z^2 < 0$ . При извлечении корня возникают два знака. Выбор знака определяется выбором направления затухания волны вдоль оси  $z$ .

В задаче имеется четыре волны вида (1), причем все они имеют одно и то же  $k_x$ . Это условие возникает вследствие граничных условий равенства тангенциальных компонент полей. В среде  $i = 1$  имеется одна волна с индексом  $j = 1$ , убывающая в направлении  $z \rightarrow -\infty$ . У этой волны

$k_z^{(j=1)} = -i\sqrt{k_x^2 - (\omega/c)^2 \epsilon_1} = -i\kappa_{1z}$ . В среде  $i = 2$  имеются две волны  $j = 2$  и  $j = r$ ,  $k_z^{(j=2)} = i\sqrt{k_x^2 - (\omega/c)^2 \epsilon_2} = i\kappa_{2z}$  и  $k_z^{(j=r)} = -i\sqrt{k_x^2 - (\omega/c)^2 \epsilon_2} = -i\kappa_{2z}$ . Волна  $j = 2$  затухает в направлении  $z \rightarrow \infty$ , волна  $j = r$  затухает в направлении  $z \rightarrow -\infty$ . В среде  $i = 3$  имеется одна волна,  $k_z^{(j=3)} = i\sqrt{k_x^2 - (\omega/c)^2 \epsilon_3} = i\kappa_{3z}$ . Она затухает в направлении  $z \rightarrow \infty$ . Выбрав  $\epsilon_3 = \epsilon_1$  получаем  $\kappa_{3z} = \kappa_{1z}$ . Выпишем волны (зависимость от времени опустим):

$$\begin{aligned} H_y^{(1)}(x, z) &= H_{1y} e^{\kappa_{1z} z} e^{ik_x x}, \quad H_y^{(2)}(x, z) = H_{2y} e^{-\kappa_{2z} z} e^{ik_x x}, \\ H_y^{(r)}(x, z) &= H_{ry} e^{\kappa_{2z} z} e^{ik_x x}, \quad H_y^{(3)}(x, z) = H_{3y} e^{-\kappa_{1z} z} e^{ik_x x}. \end{aligned} \quad (2)$$

Электрическое поле получим с помощью уравнения  $\nabla \times \vec{H} + i \frac{\omega}{c} \epsilon \vec{E} = 0$ , входящего в систему уравнений Максвелла для пространства без свободных зарядов и токов. Нам потребуются только  $E_x$ -компоненты. В  $TM$ -волне они вычисляются по формуле  $E_{jx} = -i \frac{c}{\omega \epsilon_i} \frac{d}{dz} H_{jy}$  и имеют вид:

$$\begin{aligned} E_{1x} &= -i \frac{c \kappa_{1z}}{\omega \epsilon_1} H_{1y} e^{\kappa_{1z} z} e^{ik_x x}, \quad E_{2x} = i \frac{c \kappa_{2z}}{\omega \epsilon_2} H_{2y} e^{-\kappa_{2z} z} e^{ik_x x}, \\ E_{rx} &= -i \frac{c \kappa_{2z}}{\omega \epsilon_2} H_{ry} e^{\kappa_{2z} z} e^{ik_x x}, \quad E_{3x} = i \frac{c \kappa_{1z}}{\omega \epsilon_1} H_{3y} e^{-\kappa_{1z} z} e^{ik_x x}. \end{aligned} \quad (3)$$

Будем считать, что границы среды  $i = 2$  расположены при  $z = 0$  и  $z = d$ . Составляем граничные условия равенства тангенциальных компонент полей на этих границах.

$$\begin{aligned} H_{1y} - H_{2y} - H_{ry} + 0 \cdot H_{3y} &= 0 \\ H_{1y} + \frac{\kappa_{2z} \epsilon_1}{\kappa_{1z} \epsilon_2} H_{2y} - \frac{\kappa_{2z} \epsilon_1}{\kappa_{1z} \epsilon_2} H_{ry} + 0 \cdot H_{3y} &= 0 \\ 0 \cdot H_{1y} + e^{-\kappa_{2z} d} H_{2y} + e^{\kappa_{2z} d} H_{ry} - e^{-\kappa_{1z} d} H_{3y} &= 0 \\ 0 \cdot H_{1y} + \frac{\kappa_{2z} \epsilon_1}{\kappa_{1z} \epsilon_2} e^{-\kappa_{2z} d} H_{2y} - \frac{\kappa_{2z} \epsilon_1}{\kappa_{1z} \epsilon_2} e^{\kappa_{2z} d} H_{ry} - e^{-\kappa_{1z} d} H_{3y} &= 0 \end{aligned} \quad (4)$$

Вводим обозначение  $K = -\frac{\kappa_{2z} \epsilon_1}{\kappa_{1z} \epsilon_2}$ . Составляем детерминант этой системы и приравниваем его нулю.

Возникает характеристическое уравнение.

$$(K-1)^2 - (K+1)^2 e^{-2\kappa_{2z}d} = 0 \quad (5)$$

Квадратное относительно  $K$  уравнение имеет следующие корни:

$$-\frac{\kappa_{2z}\varepsilon_1}{\kappa_{1z}\varepsilon_2} = \frac{1+e^{-\kappa_{2z}d}}{1-e^{-\kappa_{2z}d}}, \quad \frac{1-e^{-\kappa_{2z}d}}{1+e^{-\kappa_{2z}d}} \quad (6)$$

Таким образом характеристическое уравнение представляет собой произведение двух сомножителей, каждый из которых может быть равен нулю:

$$\left( \frac{\kappa_{2z}\varepsilon_1}{\kappa_{1z}\varepsilon_2} + \frac{1+e^{-\kappa_{2z}d}}{1-e^{-\kappa_{2z}d}} \right) \left( \frac{\kappa_{2z}\varepsilon_1}{\kappa_{1z}\varepsilon_2} + \frac{1-e^{-\kappa_{2z}d}}{1+e^{-\kappa_{2z}d}} \right) = 0 \quad (7)$$

Все входящие в (7) величины кроме  $\varepsilon_1$  и  $\varepsilon_2$  положительны. Решение существует лишь в том случае, если одно из  $\varepsilon$  отрицательно. Будем поочередно полагать  $\varepsilon_1 < 0$  и  $\varepsilon_2 < 0$ .

Результат расчета показан на рис.2. Обозначения на рис.2 имеют следующий смысл:

$$srs(x, k0, \varepsilon_1, \varepsilon_2) = -\frac{\varepsilon_2}{\varepsilon_1} \frac{1+e^{-d\sqrt{k_x^2-k_0^2\varepsilon_2}}}{1-e^{-d\sqrt{k_x^2-k_0^2\varepsilon_2}}}, \quad ars(x, k0, \varepsilon_1, \varepsilon_2) = -\frac{\varepsilon_2}{\varepsilon_1} \frac{1-e^{-d\sqrt{k_x^2-k_0^2\varepsilon_2}}}{1+e^{-d\sqrt{k_x^2-k_0^2\varepsilon_2}}},$$

$$ls(x, k0, \varepsilon_1, \varepsilon_2) = \frac{\sqrt{k_x^2-k_0^2\varepsilon_2}}{\sqrt{k_x^2-k_0^2\varepsilon_1}}, \quad x \text{ соответствует } k_x. \text{ Толщина слоя } d \text{ равна } 2 \text{ nm, волновое число}$$

$k_0 = \frac{2\pi}{\lambda_0}$  принимает два значения  $k_{l0}$  и  $k_{h0}$ , соответствующие длинам волн  $245 \text{ nm}$  и  $172 \text{ nm}$ . Такой

выбор значений  $\varepsilon$  для металла и длин волн соответствует серебру. Фрагменты  $a$  и  $b$  относятся к слою металла в диэлектрике, фрагменты  $c$  и  $d$  - к слою диэлектрика в металле.

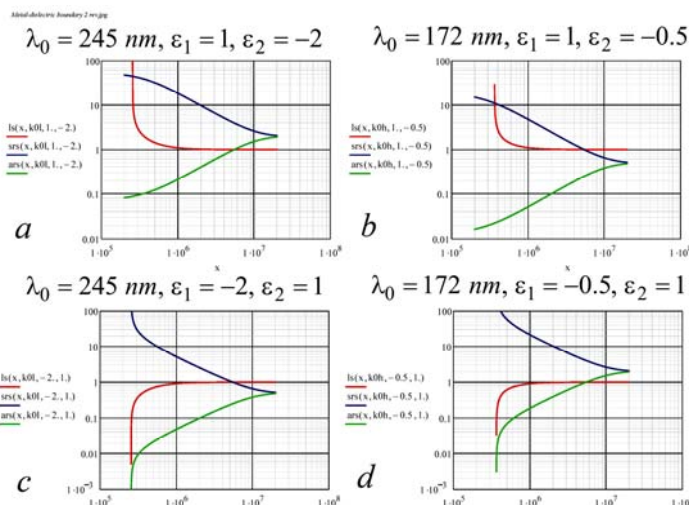


Рис.2.

Следует считать, что на фрагментах  $c$  и  $d$  красные линии пересекаются с зелеными линиями и при малых значениях  $k_x$  (на рисунке -  $x$ ).

Синие и зеленые кривые на рис.2 соответствуют двум ветвям характеристического уравнения (7), которое состоит из двух сомножителей. Рис. 2 демонстрирует два удивительных свойства. Во-1-ых, вопреки тому, что имеет место для одиночной границы раздела металл-диэлектрик, где поверхностные волны существуют лишь при условии  $\varepsilon_{metal} \leq -1$ , на тонких пленках поверхностные волны существуют и при  $-1 < \varepsilon_{metal} < 0$ . Во-2-ых, при  $-1 < \varepsilon_{metal} < 0$  два корня, т. е. два плазмона возникают для одной и той же ветви характеристического уравнения. В случае, изображенном на фрагменте  $a$ , различные ветви

характеристического уравнения соответствовали симметричному и антисимметричному плазмону. Высказанные в данном абзаце соображения относятся к случаю  $\epsilon_{dielectric} = 1$ .

## 2. Цилиндр

На рис.3 приведены построения, которые являются графическим решением характеристического уравнения в координатах  $r, \theta, z$  относительно волнового числа  $h$  для осесимметричной  $TM$  моды  $\sim e^{ihz}$  на цилиндре с  $\epsilon_1$ , погруженном в среду с  $\epsilon_2$ ,  $a$  - радиус цилиндра.  $H_\theta \neq 0$ ,  $H_r, H_z = 0$ ,  $E_\theta = 0$ ,  $E_r, E_z \neq 0$ . Характеристическое уравнение имеет вид

$$\frac{\gamma_1}{\gamma_2} \frac{I_0(\gamma_1 a)}{I_1(\gamma_1 a)} = - \frac{\epsilon_1}{\epsilon_2} \frac{K_0(\gamma_2 a)}{K_1(\gamma_2 a)}, \quad (8)$$

$$\gamma_1 = \sqrt{h^2 - k_0^2 \epsilon_1}, \quad \gamma_2 = \sqrt{h^2 - k_0^2 \epsilon_2}.$$

$I_0, I_1, K_0, K_1$  - модифицированные бесселевы функции. При условиях, соответствующих фрагменту  $a$ , эта волна не имеет критической частоты и существует на цилиндре сколь угодно малого диаметра. О критических частотах для других фрагментов я пока ничего не знаю. При  $\epsilon_{dielectric} = 1$ ,  $-1 > \epsilon_{met} > 0$ , фрагмент  $b$ , такой волны, как оказалось, нет. Для диэлектрического цилиндра в металле, фрагменты  $c, d$ , ситуация обратная.

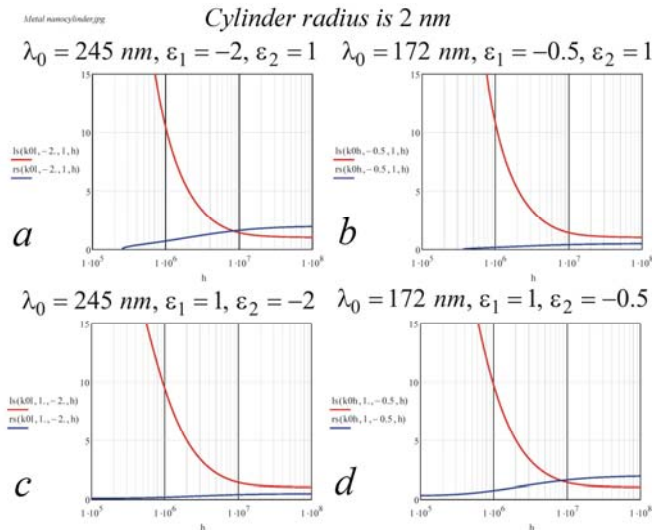


Рис.3.

## 2. Сфера

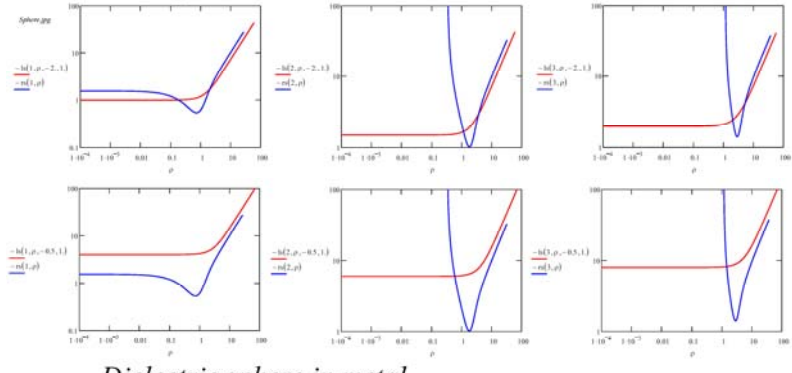
Сферические координаты  $r, \theta, \varphi$ . Для поверхностных волн на сферической поверхности имеет место следующее характеристическое уравнение относительно  $\rho$ :

$$\frac{1}{N^2 j_n(N\rho)} \frac{d}{d(N\rho)} [N\rho j_n(N\rho)] = \frac{1}{y_n(\rho)} \frac{d}{d\rho} [\rho y_n(\rho)], \quad (9)$$

$$N^2 = \frac{\epsilon_1}{\epsilon_2}, \quad \rho = r \cdot k_2 = r \cdot k_0 \cdot \sqrt{\epsilon_2}.$$

На рис.4. приведено графическое решение для (9) при различных значениях  $\epsilon_1$  и  $\epsilon_2$ . Точки пересечения кривых – корни уравнения (9). На рис.4 левая колонка соответствует индексу сферической бесселевой функции  $n = 1$ , в середине -  $n = 2$ , справа -  $n = 3$ .

### Metal sphere in dielectric



### Dielectric sphere in metal

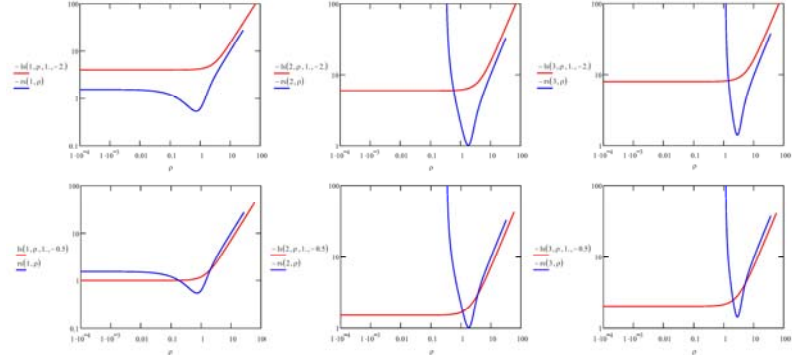


Рис.4.

Нам известно лишь одно указание на существование поверхностных волн при  $\epsilon_{dielectric} = 1$ ,  $-1 > \epsilon_{met} > 0$  на границе металл-диэлектрик. Это указание содержится в работе /1/. Проделанный выше подробный анализ выявил условия существования поверхностных волн при  $\epsilon_{dielectric} = 1$ ,  $-1 > \epsilon_{met} > 0$ . С практической точки зрения это означает, что устройства нанофотоники с поверхностными волнами могут работать при длине волны в  $\sqrt{2}$  раз более короткой, чем можно было бы думать, если пользоваться известной формулой для волнового числа поверхностного плазмона на одиночной границе раздела

$k_{pl} = k_0 \sqrt{\frac{\epsilon_1 \epsilon_2}{\epsilon_1 + \epsilon_2}}$  и плазменным законом дисперсии для металла  $\epsilon_{met} = 1 - (\omega_{pl} / \omega)^2$ . Для серебра это

означает продвижение вплоть до длины волны 140 nm.

1. D.V.Guzatov and V.V.Klimov. arXiv:physics/0703251 28 Mar 2007